## 研究紹介

# 回転円板型促進酸化装置による 養殖廃水中の医薬品および 中間生成物の除去技術の開発

東京大学工学系研究科都市工学専攻 下水道システムイノベーション研究室 特任助教 野村 洋平

キーワード:回転円板型促進酸化装置、養殖廃水、医薬品、サルファモノメトキシン、中間生成物

#### 1. はじめに

近年、水産物の安定供給のため、養殖業は世界的に 急成長を遂げている。国際連合食糧農業機関 (FAO) によると、食用目的の魚の多くは水産養殖により賄わ れており、その養殖業生産量は2030年までに1億9 百万トンに達すると予測される1)。養殖業では病害予 防のために医薬品が使用されてきたが、医薬品の一部 は魚の代謝や排泄を経て体外へ排出されてしまい、養 殖水域では残留医薬品による薬剤耐性菌の出現が報告 されている2)。サルファモノメトキシン(SMM)は 動物用医薬品の一種であり、養殖業ではビブリオ病予 防薬として使用されてきた。しかしながら、SMMは 難分解性や毒性を有するため3)、環境中への残留や水 生生物への悪影響が懸念される。養殖廃水には魚の体 液や排泄物などの共存物質が含まれるため、それらに よる阻害影響を緩和しうるSMM除去技術の開発が求 められる。

筆者は、これら養殖廃水からの環境負荷を緩和し、環境中からの水再生リスクを低減する手法として吸着材や光触媒などの機能性触媒を用いた廃水中微量化学物質の除去技術の開発に取り組んできた4-7)。本稿では、吸着材や光触媒を搭載した「回転円板型促進酸化装置」による養殖廃水中のSMMとその中間生成物の除去特性について紹介する。

## 2. 回転円板型促進酸化装置

酸化チタンなどの光触媒は、紫外線照射下でヒドロ キシラジカルなどの活性酸素種を生成し、難分解性物 質を分解することができる。光触媒は太陽光を光源と して利用でき、光触媒分解は省エネルギーな促進酸化 法として期待されている。しかしながら、廃水中では 活性酸素種が共存物質に捕捉されてしまい、対象物質 の除去効率が低下することが課題となっている。この 課題を克服するため、先行研究では対象物質を選択的 に除去可能な吸着材の探索や吸着機構の調査が行われ てきた。高シリカ型ゼオライトHSZ-385は中性型の 疎水性物質を選択的に吸着し、共存物質を高濃度で含 む豚尿中でも阻害影響を受けること無く、医薬品を吸 着可能であることが明らかとなっている<sup>8)</sup>。HSZ-385 ゼオライトと酸化チタンを複合化することで、ゼオラ イトに選択的吸着された物質を光触媒分解により除去 可能となる。加えて、HSZ-385ゼオライト/酸化チタ ン複合触媒の協奏的効果のにより廃水中共存物質の阻 害影響を緩和しつつ医薬品を効率的に除去できること が明らかとなっている4,10,11)。粉末の複合触媒を用い た処理では、水中での透過光減衰や処理後の固液分離 が課題となる。そこで、抄紙技術を用いてHSZ-385 ゼオライトと酸化チタンを含む複合シートを作製し (配合比 1:1)、固液分離の課題を克服するとともに、 その複合シートを回転円板装置に搭載した回転円板型 促進酸化装置(RAOC: Rotating Advanced Oxidation Contactor) を開発した<sup>12-14)</sup>。RAOCの外観を**図1**に

Vol. 45 No. 166 2021/3 再生と利用

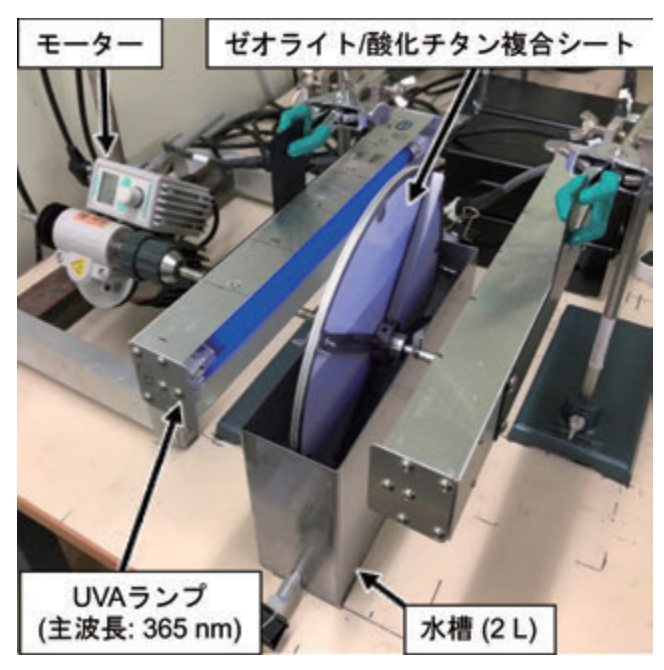


図1 ゼオライト/酸化チタン複合シートを搭載した回 転円板型促進酸化装置(RAOC) 5)

示す。ステンレス製の円板の両面に複合シート(直径24cm、シート有効表面積898cm²)を固定し、半水没の状態で円板を回転(10rpm)させることにより、液相部では対象物質の吸着が、気相部では紫外線照射により複合シートに吸着された物質の光触媒分解が可能となる。気相部では、シート表面における水膜は極めて薄いため、透過光減衰の課題を解決できる。本研究では、将来的に太陽光を光源として利用することを想定し、UVAランプ(主波長365nm)を使用した。

## 3. 回転円板型促進酸化装置による養殖廃水中 SMMの吸着・分解特性

RAOCによる養殖廃水中での液相中、シート中、系内(=液相中+シート中)のSMM量の変化を図2に示す。図2aに示すように、UV非照射下では液相

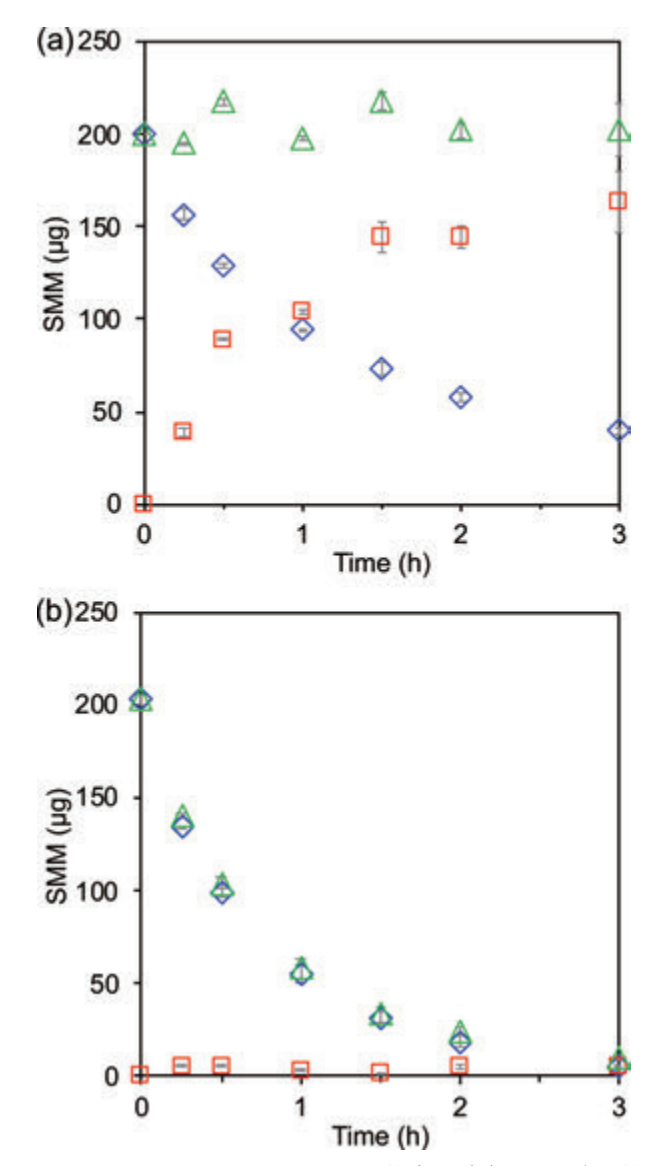


図 2 RAOC による SMM の吸着挙動(a) および吸着・ 分解挙動(b) <sup>5)</sup>

(◇: 液相中 SMM 量、□: シート中 SMM 量、△: 系内 SMM 量 (◇+□))

中SMM量( $\diamondsuit$ )は吸着により徐々に減少し、3時間の吸着処理により80%のSMMが液相から除去された。液相中SMMの吸着にともない、シート中SMM量( $\square$ )は増加し、系内SMM量( $\Delta$ )は初期SMM量(200  $\mu$ g)と同等であった。図2bに示すように、UV照射下ではシート中SMM量( $\square$ )は5~6 $\mu$ gと僅かであり、系内SMM量( $\Delta$ )は時間経過にともない徐々に減少した。UV非照射下(図2a)では系内SMM量( $\Delta$ )は初期量と同等であったことから、UV照射下(図2b)では系内SMM( $\Delta$ )は光触媒分解により減少したと判断される。SMMの吸着・分解処理に対するUV照射強度の影響について評価した。系内SMM量( $\Delta$ )の時間変化より擬一次反応速度定数( $k_d$ )を算出し、UV照射強度と $k_d$ の関係を調査した(図3)。

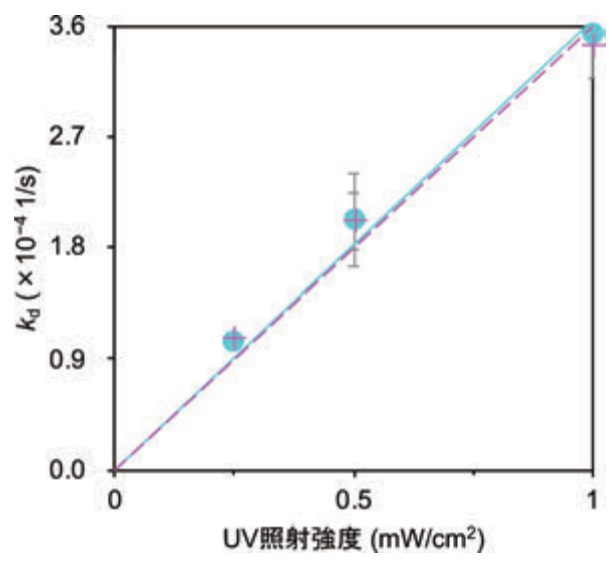


図 3 UV 照射強度と SMM 分解速度定数(kd) の関係 <sup>5)</sup> (●:純水、+:養殖廃水)

いずれの溶媒においても、UV照射強度 $0.25 \sim 1 \text{mW/cm}^2$ ではUV照射強度E = 1 kg には直線的な関係が確認され、UV照射強度の上昇によりE = 1 sm の光触媒分解が促進されることが示された。加えて、純水および養殖廃水における近似直線が同一線上に並んでいることから、RAOC は養殖廃水中の共存物質による阻害影響を緩和しつE = 1 sm を効率的に除去可能であることが明示された。

養殖廃水中SMMを持続的に除去可能であることを確認するため、RAOCによる養殖廃水中SMMの反復処理性能について検討した。養殖廃水中SMMに対して、同一の複合シートを用いてRAOC処理を5回繰り

返し、SMM除去効率を調査した。図4に示すように、5回繰り返してもSMMの処理を行っても、RAOCによるSMM除去性能の低下はみられず、3時間のRAOC処理により平均98%のSMMが養殖廃水から除去されるとともに、平均96%のSMMが光触媒分解された。以上より、RAOCは養殖廃水中の共存物質による阻害を受けること無く、SMMを効率的にかつ反復して除去可能であることが示された。

## 4. 回転円板型促進酸化装置による中間生成物 の除去特性

光触媒分解などの促進酸化法による難分解性物質の 処理では、反応初期における中間生成物が親物質に比 べて高い毒性を有する場合がある。そのため、適切な SMM除去技術を確立する上で、その中間生成物の除 去は極めて重要である。粉末酸化チタンを用いて SMM (初期濃度10mg/L) の光触媒分解を行い、高 速液体クロマトグラフィー質量分析計を用いて分解液 を分析したところ、9種の中間生成物が検出された。 各々の中間生成物のフラグメンテーションパターンや 分解挙動を解析し、中間生成物の構造推定ならびに SMMの光触媒分解経路の推定を試みた。酸化チタン によるSMMの光触媒分解経路を図5に示す。反応の 初期段階として、フェニル環とピリミジン環への水酸 化反応 (Ph-OHとPvr-OHの生成)、アミノ基からニ トロ基への酸化反応 (P294の生成)、ヒドロキシル基 のメトキシ基への置換反応 (P266の生成) が考えら れた。その後、さらなる水酸化反応やスルホンアミド

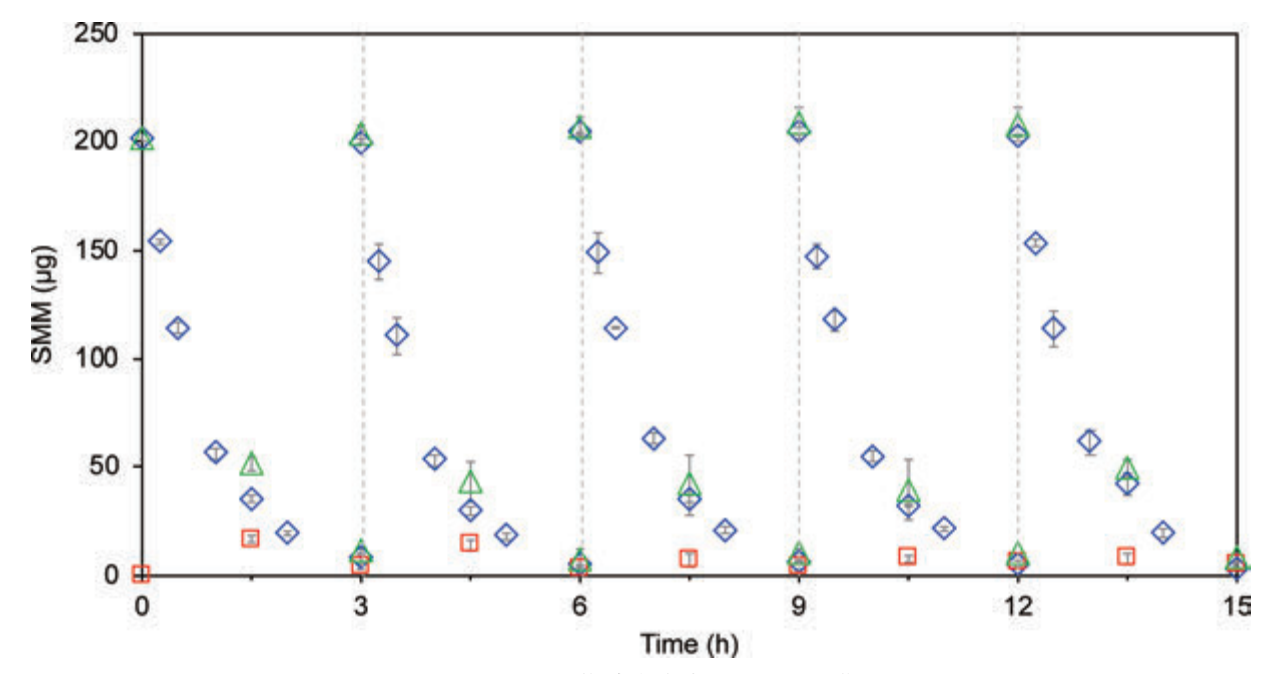
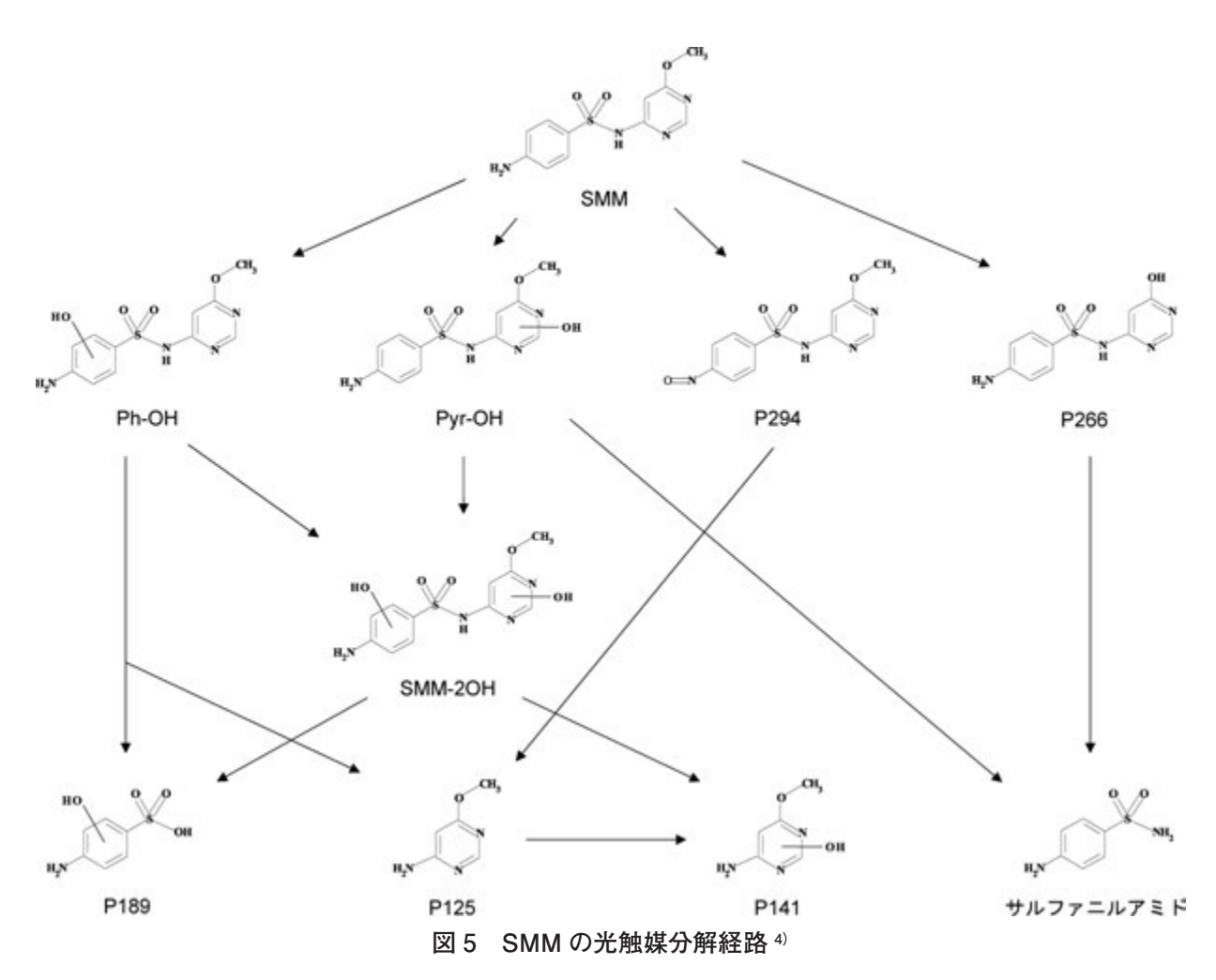


図 4 RAOC による養殖廃水中 SMM の反復処理 <sup>5)</sup>
(◇: 液相中 SMM 量、□: シート中 SMM 量、△: 系内 SMM 量(◇+□))

Vol. 45 No. 166 2021/3 再生と利用



基の開裂反応を経て低分子化が進行すると考えられた。SMM-2OH、P266、P189、サルファニルアミド、P141への分解経路は本研究により明らかとなった。

次に、RAOCによる中間生成物の除去を検討すると ともに、中間生成物の除去に対するUV照射強度の影 響について調査した。養殖廃水中SMMのRAOC処理 により、中間生成物としてPh-OHおよびPyr-OHが検 出されたため、それらの除去挙動を調査した。養殖廃 水中での系内のPh-OHおよびPvr-OHの除去挙動を 図6に示す。液相中およびシート中のピーク面積から 系内ピーク面積  $(P_{+})$  を算出し、 $P_{+}$ を最大ピーク面積  $(P_{\text{max}})$  で除したものを結果として示した。Ph-OH (図6a) およびPyr-OH (図6b) の $P_t/P_{max}$ は、それぞ れ0.25hおよび1hで最大となり、その後徐々に低下し た。SMMと同様に、各UV照射強度で除去挙動が異な り、UV照射強度の上昇にともないPh-OHおよびPyr-OHの生成速度と分解速度が上昇したと考えられる。 以上より、RAOCは養殖廃水中のSMMおよびその中 間生成物を除去可能であることが明らかとなった。

#### 4. おわりに

本稿では、養殖廃水中のSMMおよびその中間生成物の除去技術について紹介した。他にも、RAOC処理の熱力学特性について検討しており、温度上昇にともない協奏的効果が増大されることを明らかにしている150。第2節に記載したように、RAOCに搭載する複合シートは抄紙技術により作製しており、対象物質の特性に応じて触媒や配合比を変更することができる。活性炭/酸化チタン複合シートを搭載したRAOCによる廃棄物処分場浸出水中1,4-ジオキサンの除去に関する研究では、無機イオンや有機物などの共存物質が極めて高濃度で含まれる条件下においても、RAOCは1,4-ジオキサンを効率的に除去可能であることを明らかにしているで、今後は、RAOCによる廃水中微量化学物質除去のモデル化に取り組むとともに、新規水処理プロセスの構築に向けて検討を進めたいと考えている。

#### 謝辞

本稿では、著者が愛媛大学連合農学研究科の博士後期課程在学中に行った研究成果の一部について紹介しました。本研究の遂行にあたり、高知大学農学部門教

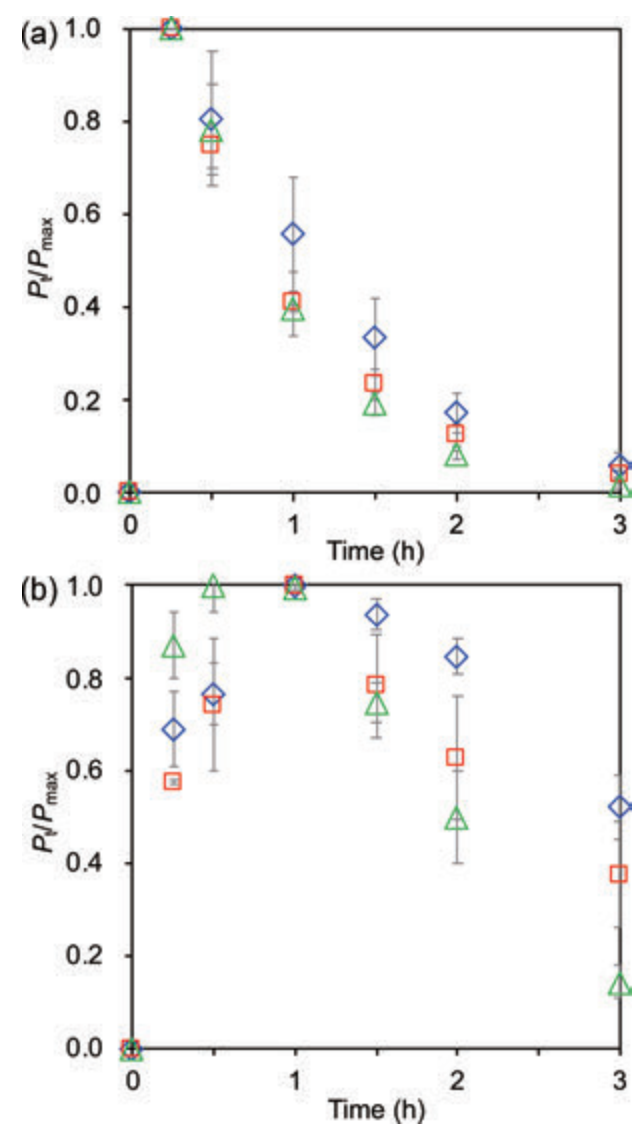


図 6 養殖廃水中の Ph-OH (a) および Pyr-OH (b) の 除去に対する UV 照射強度の影響 <sup>5)</sup>

 $( : 0.25 \text{mW/cm}^2, \square : 0.5 \text{mW/cm}^2, \triangle : 1 \text{mW/cm}^2 )$ 

授 藤原 拓 博士、愛媛大学紙産業イノベーションセン ター准教授 深堀 秀史 博士にご指導を賜りました。養 殖廃水のサンプリングでは、高知大学黒潮圏総合科学 部門教授 大島 俊一郎 博士、高知大学農学部門准教授 深田 陽久 博士にご協力頂きました。ここに深い感謝 の意を表します。

### 参考文献

- 1) FAO (2018) The State of World Fisheries and Aquaculture.
- 2) Gao et al. (2012) Water Res. 46, 2355-2364.
- 3) Huang et al. (2014) Environ. Toxicol. *Pharmacol.* 38, 874-880.
- 4) Nomura et al. (2017) *J. Hazard. Mater.* 340, 427-434.
- 5) Nomura et al. (2020) *Process Saf. Environ.* 134, 161–168.
- 6) 野村ら (2016) 土木学会論文集 G (環境) 72(7), III 419-III 427.
- 7) Nomura et al. (2020) *J. Hazard. Mater.* 383, 121005.
- 8) Fukahori et al. (2011) *Desalination* 275, 237-242
- 9) Fukahori and Fujiwara (2014) *J. Hazard. Mater.* 272.1-9.
- 10) Ito et al. (2014) Environ. Sci. Pollut. Res. 21, 834-842.
- 11) Xiang et al. (2018) *Water Sci. Technol.* 77(3), 788-799.
- 12) Fukahori et al. (2015) *Water Sci. Technol.* 72(2), 238-244.
- 13) 藤原拓、深堀秀史(2017) ケミカルエンジニヤリング 62(10), 24-31.
- 14) Fukahori et al. (2018) *Environ. Sci. Pollut. Res.* 25, 29017–29025.
- 15) Nomura et al. (2020) Chem. Eng. J. 380, 122479.